



RAZVOJ NANOFUIDA VODA/Al₂O₃ PRIMENOM RAČUNARSKE DINAMIKE FLUIDA DEVELOPMENT OF NANOFUID WATER/Al₂O₃ USING COMPUTATIONAL FLUID DYNAMICS

Danijel Đurković, *Fakultet tehničkih nauka, Novi Sad*

Oblast- MAŠINSTVO

Kratak sadržaj – *Predmet rada bila je prinudna konvekcija nanofuida voda/Al₂O₃. Cilj rada bio je da se za potrebe razvoja nanofuida urade numeričke simulacije prinudne konvekcije nanofuida voda/Al₂O₃. Numeričke simulacije urađene su primenom računarske dinamike fluida, metodom konačnih zapremina. Numeričke simulacije su realizovane u komercijalnom softveru Star CCM +.*

Ključne reči: *nanofuid, prinudna konvekcija, metod konačnih zapremina*

Abstract - *The subject of this paper is forced convection of water/Al₂O₃ nanofuid. The aim was to perform numerical simulations of forced convection of water/Al₂O₃ nanofuid for the purpose of the development of nanofuids. The numerical simulations were carried out by means of computational fluid dynamics, using the finite volume method. The numerical simulations were performed using the commercial Star CCM+ software.*

Keywords: *nanofuid, forced convection, finite volume method*

1. UVOD

U novije vreme procesi grejanja i hlađenja predstavljaju najveći izazov za razvoj efikasnosti uređaja za razmenu toplotne energije. Do sada su u industriji najčešće korišćeni konvekcionalni fluidi kao što su voda, mineralna ili sintetička ulja i etilen – glikol.

Konvekcioni prelaz toplotne energije korišćenjem konvekcionih tečnosti je često ograničen njenom niskom topotnom provodljivošću i malom mogućnošću akumulacije veće količine toplotne energije.

U poslednje vreme radio se dosta na poboljšanju fizičkih osobina fluida kao što su toplotna provodljivost i toplotni kapacitet fluida. Za iznalaženje rešenja problema koje bi zadovoljilo potrebe savremene industrije, veoma velika pažnja posvetila se razvoju nanofuidova.

Nanofuidi su tečne suspenzije koje sadrže čestice koje su veličine manje od 100 nm. Radi se o česticama koje imaju veću toplotnu provodljivost od osnovne tečnosti.

Koeficijent prelaza toplotne energije zavisi od toplotnih svojstava nanofuida, zapreminskog udela nanočestica u nanofuidu, oblika i vrste čvrste čestice. Imajući to u vidu došlo se do ideje o dodavanju čvrstih čestica u tečnosti koje mogu da povećaju vrednost koeficijenta prelaza toplotne energije u poređenju sa konvencionalnim fluidima.

NAPOMENA:

Ovaj rad proistekao je iz master rada čiji mentor je bio dr Siniša Bikić, docent.

Materijali koji doprinose povećanju ovog koeficijenta su čisti metali (Al, Cu, Ni), oksidi metala (Al₂O₃, TiO₂, CuO, SiO₂, Fe₂O₃ i Fe₃O₄), ugljenične nanocevi i keramika [1].

Istraživači su na početku koristili suspenzije vode sa čvrstim česticama prečnika od nekoliko milimetara ili nekoliko mikrometara. Poređenjem dobijenih rezultata sa rezultatima dobijenim u slučaju kada je radni fluid voda, primećeno je povećanje koeficijenta prelaza toplotne radnog fluida.

Prilikom upotrebe fluida sa dispergovanim česticama javili su se problemi kao što su erozija zida cevi, loša stabilnost suspenzije, sedimentacija i začepljenje cevi, a to su prilično ozbiljni problemi za sisteme koji koriste npr. mini i mikro kanale [1].

2. PREGLED STANJA U OBLASTI

Mnogi naučni radovi ukazuju da postoji poboljšanje topotne provodljivosti i konvektivnog prenosa toplotne energije kod nanofuidova, pri niskim koncentracijama nanočestica [2].

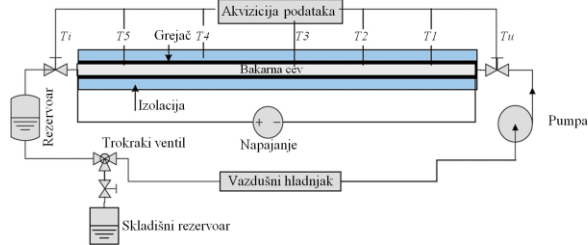
Zanimljivo je da u istraživačkoj studiji iz 1873. godine Maksvel (Maxwell) analizirao dispergovane čestice u tečnosti. Međutim 1904. godina bi mogla da se smatra kao početak nanotehnologije [3].

Velike čestice mogu uzorkovati različite probleme u opremi za prenos toplotne energije. Velike čestice brzo teže da se istalože tako da se veliki pad pritiska može pojavit npr u mikro kanalima. Takođe abrazivne aktivnosti čestica mogu da uzrokuju eroziju zidova cevi. Čestice male zapremine i koncentracija sprečavaju zagruženje i povećanje pada pritiska nanofuida [4].

Istraživači su se najviše u prošlosti bavili konvektivnim prenosom toplotne energije nanofuidova. Wen i Ding [5] eksperimentalno su istražili konvektivni prenos toplotne energije nanofuidova kroz bakarnu cev pri laminarnom režimu strujanja. Na slici 1. šematski je prikazano eksperimentalno postrojenje koje su autori rada koristili za istraživanje prinudne konvekcije nanofuidova. Nanofuid su formirali dispergovanjem čestica Al₂O₃ u demineralizovanu vodu kao osnovnom fluidu. Suspendovane su nanočestice γ-Al₂O₃ veličine od 27-56 nm. Kao surfaktant korišćen je natrijum dodecilbenzensulfanat C₁₈H₂₉H₄O₃S (jedna desetina od mase nanočestica).

Razmatrani su nanofuidi sa nekoliko različitih koncentracija nanočestica Al₂O₃. Nanofuidi su pripremljeni metodom iz dva koraka. Nanočestice su prvo pomešane sa vodom u određenom odnosu. Zatim je nanofuid tretiran u ultrazvučnom kupatilu u trajanju od 16 do 20 h.

Uočeno je da nanofluidi sa koncentracijom nanočestica manjom od 4% imaju veoma dobru stabilnost. Ovi nanofluidi su bili stabilni više od nedelju dana. Konvektivni prenos topote nanofluida na ulazu u cev nije u dovoljnoj meri istražen do predmetnog istraživanja. Iz tog razloga je fokus istraživanja stavljen na ponašanje nanofluida na ulazu u cev.



Slika 1. Šematski prikaz eksperimentalnog postrojenja [5]

Konvektivni prenos topote analiziran je duž cevi putem vrednosti lokalnih koeficijenata prelaza topote i Nuseltovog broja koji su računati iz sledećih jednačina

$$\alpha(x) = \frac{q}{(T_w(x) - T_f(x))}, \quad (1)$$

$$Nu(x) = \frac{\alpha(x) \cdot D}{\lambda}, \quad (2)$$

Profil temperature fluida duž cevi računat je iz energetskog bilansa:

$$\dot{Q}(x) = q \cdot S(x) = c_p \cdot \dot{m} \cdot (T_f(x) - T_{in}), \quad (3)$$

$$\dot{m} = \rho \cdot v \cdot A, \quad (4)$$

$$T_f(x) = T_{in} + \frac{q \cdot S(x)}{c_p \cdot \rho \cdot v \cdot A}, \quad (5)$$

Jednačina (5) zasniva se na pretpostavci da nema gubitka topote kroz zidove cevi.

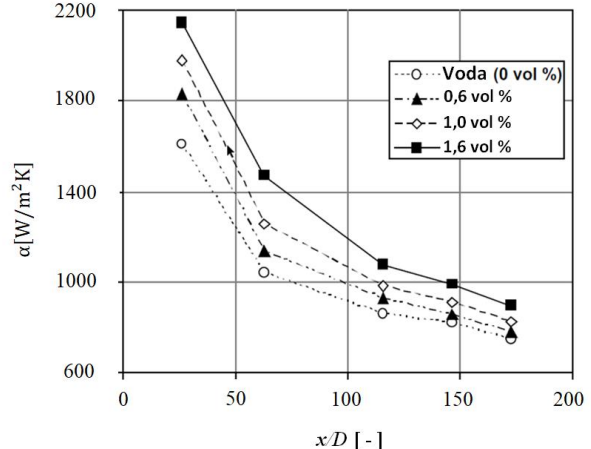
Rejnoldsov i Prantlov broj definišu se kao:

$$Re = \frac{\rho \cdot v \cdot D}{\mu}, \quad (6)$$

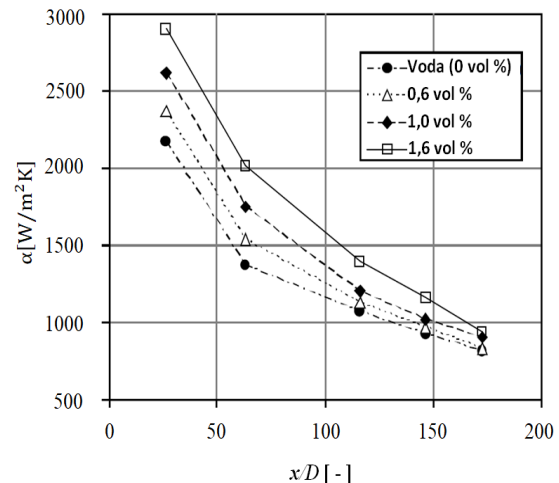
$$Pr = \frac{v}{a}, \quad (7)$$

Na slikama 2 i 3 prikazani su aksijalni profili lokalnog koeficijenta prelaza topote za dve razmatrane vrednosti Rejnoldsovog broja. Rezultati pokazuju da primenom predmetnog nanofluida i povećanjem Rejnoldsovog broja može značajno da se poboljša konvektivni prenos topote na ulazu u cev. Sasvim očekivano koeficijent prelaza

topote opada udaljavanjem od ulaza u cev. Može da se uoči da je potrebna veća dužina cevi za razvijanje termičkog graničnog sloja kod nanofluida u odnosu na čistu vodu.



Slika 2. Aksijalni profil lokalnog koeficijenta prelaza topote ($Re = 1050 \pm 50$) [6]



Slika 3. Aksijalni profil lokalnog koeficijenta prelaza topote ($Re = 1600 \pm 50$) [6]

3. MATERIJAL I METOD

Cilj master rada bio je da se ispita prinudna konvekcija nanofluida kroz pravu cev kružnog poprečnog preseka primenom računarske dinamike fluida. Nanofluid je dobijen suspendovanjem nanočestica Al_2O_3 u vodi kao osnovnom fluidu. Koncentracija nanočestica iznosila je 1%.

Numerički model urađen je tako da odgovara fizičkom modelu prikazanom u radu [5]. Cev je dužine 970 mm i unutrašnjeg prečnika 4,5 mm. Razmatran je laminaran režim strujanja sa dve vrednosti Rejnoldsovog broja $Re=1050$ i $Re=1600$. Na zid cevi dovođena je konstantna plototna snaga koja je iznosila 300 W i smatralo se da su uslovi strujanja nanofluida nestacionarni.

Verifikacija rezultata računarske dinamike fluida urađena je rezultatima dostupnim u literaturi [5].

Za potrebe računarske dinamike fluida izračunate su fizičke osobine nanofluida Al_2O_3 čije suspenzovane čestice Al_2O_3 imaju zapreminsку koncentraciju od (1%) u demineralizovanoj vodi.

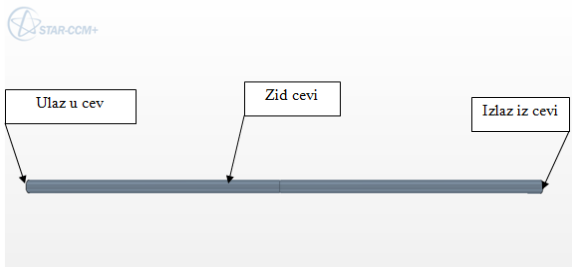
Fizičke osobine su izračunate za temperaturu nanofluida na ulazu u cev iz jednačine za energetski bilans (5). Uvedene su četiri aproksimacije numeričkog u odnosu na fizički model:

- smatralo se da je brzina strujanja fluida konstantna po površini poprečnog preseka na ulazu u cev;
- fizičke osobine sa kojima su podešene numeričke simulacije izračunate su za temperaturu nanofluida na ulazu u cev koja je iznosila 295 K;
- smatrano je da je nanofluid jednofazni fluid i
- zanemaren je efekat prirodne konvekcije.

3.0 Podešavanje numeričke simulacije

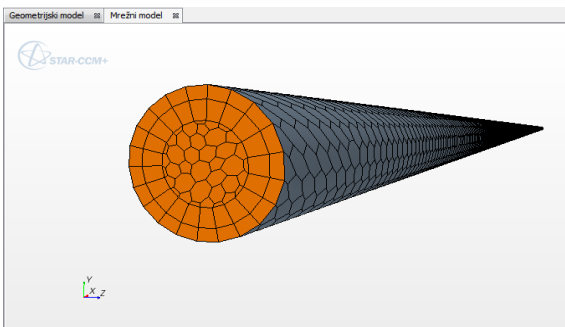
3.1 Crtanje CAD modela za formiranje geometrijskog modela to jest prava cev

3.2 Definisanje tipa granica u softverskom paketu STAR CCM+ sve granice su predpodešene da budu zidovi (**Wall**). Na *slici 4* prikazane su granice domena. Na ulazu u cev podešavana je brzina strujanja, dok je na izlazu iz cevi podešavano da razlika pritiska bude na granici $\Delta p=0$. Kako su predpodešeni tipovi svih granica tipa zida, tipovi granica na **Ulazu** i **Izlazu** iz cevi su promenjeni u **Velocity Inlet** i **Pressure Outlet**.



Slika 4. Prikaz graničnih uslova

3.3 Generisanje mrežnog kontinuma *slika 5.*



Slika 5. Izgled mrežnog kontinuuma

3.7 Podešavanje kriterijuma zaustavljanja numeričke simulacije

Kao kriterijum zaustavljanja numeričke simulacije podešeno je maksimalno fizičko vreme, pri čemu je deaktiviran kriterijum zaustavljanja numeričke simulacije maksimalnim brojem iteracija.

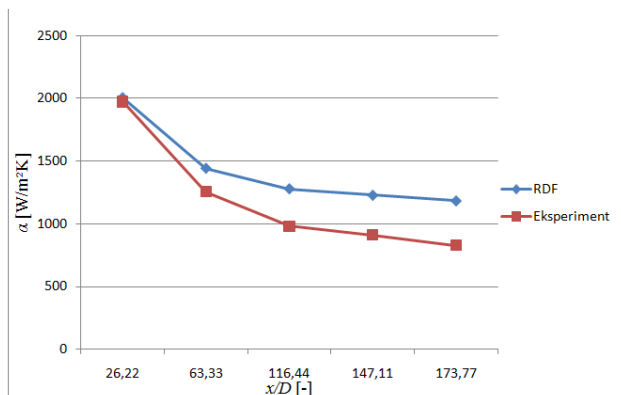
Maksimalno fizičko vreme trajanja simulacije je 100 s, a vremenski korak pri rešavanju je 0,1 s.

4. REZULTATI RADA I DISKUSIJA

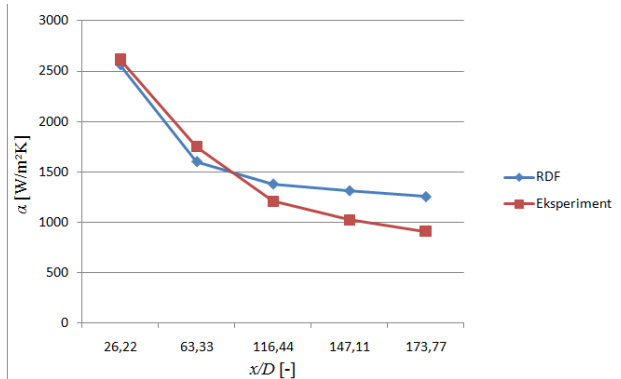
Na osnovu razlike temperature na zidu cevi i osrednjene temperature fluida dobijene numeričkim simulacijama na definisanim mestima x duž cevi izračunat je lokalni koeficijent prelaza topline i Nuseltov broj.

Primenom jednačine (1) izračunate su vrednosti lokalnih koeficijenta prelaza topline duž cevi pri vrednosti Rejnoldsovog broja $Re = 1050$ i $Re = 1600$:

Na *slici 6 i slici 7* prikazan je dijagram sa poređenjem koeficijenta prelaza topline dobijenih računarskom dinamikom fluida i eksperimentom.



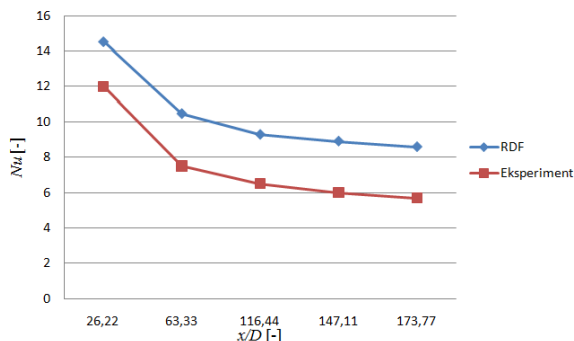
Slika 6 Grafički prikaz promena lokalnog koeficijenta prelaza topline duž cevi pri strujanju Ivol% Al_2O_3 nanofluida pri vrednosti Rejnoldsovog broja $Re = 1050$.



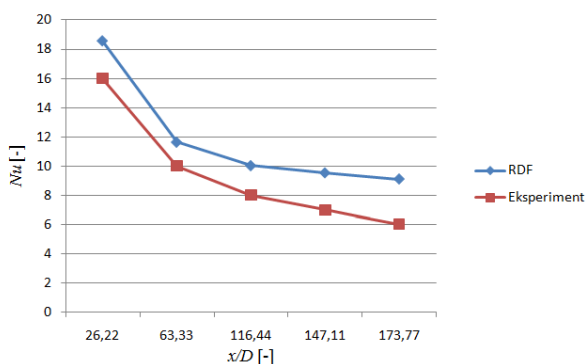
Slika 7 Grafički prikaz promena lokalnog koeficijenta prelaza topline duž cevi pri strujanju Ivol% Al_2O_3 nanofluida pri vrednosti Rejnoldsovog broja $Re = 1600$.

Primenom jednačine (2) izračunate su vrednosti lokalnog Nuseltovog broja duž cevi pri vrednosti Rejnoldsovog broja $Re = 1050$ i $Re = 1600$:

Na *slici 8 i slici 9* uporedene su vrednosti Nuseltovog broja dobijene računarskom dinamikom fluida i eksperimentalnim putem.



Slika 8 Grafički prikaz vrednosti lokalnog Nuseltovog broja duž cevi pri strujanju 1 vol% Al_2O_3 nanofluida pri vrednosti Rejnoldsovog broja $Re = 1050$.



Slika 9 Grafički prikaz vrednosti lokalnog Nuseltovog broja duž cevi pri strujanju 1 vol% Al_2O_3 nanofluida pri vrednosti Rejnoldsovog broja $Re = 1600$.

5. ZAKLJUČAK

Verifikacija rezultata numeričke simulacije urađena je analizom lokalnih vrednosti Nuseltovog broja i koeficijenta prelaza topline duž cevi. Primećeno je da sa povećanjem brzine strujanja odnosno Rejnoldsovog broja dolazi i do povećanje Nuseltovog broja, povećava se značajno količina prenesene topotne energije sa zida cevi na fluid. Najveći lokalni koeficijent prelaza topline je na ulazu u cev, a zatim drastično opadaju vrednosti sa povećanjem razdaljine odnosno na samom izlazu bakarne cevi. Radi se o tendenciji koja je sasvim očekivana pri prinudnoj konvekciji fluida kroz pravu cev.

Poređenjem vrednosti koeficijenata prelaza topline dobijenih računarskom dinamikom fluida i eksperimentom za razmatrane vrednosti Rejnoldsovog broja dobijena su sledeća relativna odstupanja:

- za vrednost Rejnoldsovog broja $Re = 1050$ na ulazu u cev dobijena su najmanja odstupanja u odnosu na eksperimentalne rezultate i iznosila su 1,63%, a na izlazu iz cevi dobijena su najveća odstupanja koja iznose 43%
- za vrednosti Rejnoldsovog broja $Re = 1600$ gde su relativna odstupanja na ulazu u cev iznosila najmanja 2,07%, a na izlazu iz cevi su dobijena najveća odstupanja koja su iznosila 38%.

Uočeno je da se povećanjem Rejnoldsovog broja smanjuju odstupanja rezultata računarske dinamike fluida i eksperimentalnih rezultata.

U budućnosti bi trebalo nastaviti istraživanje prinudne konvekcije nanofluida voda/ Al_2O_3 kroz pravu cev kružnog poprečnog preseka primenom računarske dinamike fluida. Potrebno je da se uradi analiza nezavisnosti mreže, ispita uticaj fizičkih modela i šema diskretizacije na numerička rešenja, kako bi se smanjila razlika između rezultata dobijenih računarskom dinamikom fluida i eksperimentom.

6. LITERATURA

- [1] Choi S.U.S.(1995). *Enhancing thermal conductivity of fluids with nanoparticles*, ASME Publ. Fed, 231 99-106.
- [2] Yang Y., Zhang Z.G., Grulke E.A., Anderson W.B., Wu G. (2005). *Heat transfer properties of nanoparticle-in-fluid dispersions (nanofluids) in laminar flow*, Int.J.Heat Mass Transfer, 48 1107-1116.
- [3] Bashirnezhad K., Bazri S., Safaei M.R., Goodarzi M., Dahari M., Mahian O., Dalkilica A.S., Wongwises. (2016). *Viscosity of nanofluids: A review of recent experimental studies*, International Communications in Heat and Mass Transfer, 73 (02), 114-123.
- [4] Khanafer K., Vafai K., Lightstone M. (2003). *Buoyancy-driven heat transfer enhancement in a two-dimensional enclosure utilizing nanofluids*. Int. J. Heat Mass Transf, 46 (19), 3639-3653.
- [5] Wen D. end Ding Y. (2004). *Exsperimental investigation into convective heat transfer of nanofluids at the entrance region under laminar flow conditions*, International Journal of Heat and Mass Transfer, 47 (24), 5181-5188.

Kratka biografija:



Daniel Đurković rođen je u Novom Sadu, 1983. godine. Fakultet tehničkih nauka u Novi Sad, odsek Mašinstvo - Energetika i procesna tehnika osnovne studije završio 2016. godine, odbranivši diplomski rad na temu "Numeričke simulacije blendi za merenje protoka prirodnog gasa".